

① Model jellium

Do tej pory rozważaliśmy na ćwiczeniach model Fermiego opisujący zlokalizowane N nieodświeżalnych elektronów. Pryskała pona na rozważanie bardziej realistycznego modelu metalu, tzw. model jednorodnego gazu (jellium model). W modelu tym elektryny odświeżają ze sobą potencjałem kubicznobocznym, natomiast jądrka ładunków joniów jest jednorodnie rozłożony w metalu. Układ jako całość jest obojętny. Oblicz poprawkę do energii gazu elektronowego w pierwszym naczyniu nadmunku zaburzeń przyjmując, że zewnątrz nad wynik uzyskanym w modelu Fermiego. Przyjąć, że oddziaływanie pomiędzy pojedynczymi elektronami można traktować jako metoda perturbacji. Przedyskutować (bez szczegółowych nacisków), co dzieje się w drugim naczyniu nadmunku zaburzeń.

Rozwiązań:)

Hamiltonian w tym modelu:

$$\hat{H} = \hat{H}_{el} + \hat{H}_{ion} + \hat{H}_{el-ion}$$

Na pierwszy kierownic:

$$H_{el} = \sum_{i=1}^N \frac{\vec{p}_i^2}{2m} + \frac{1}{2} \tilde{e}^2 \sum_{i \neq j} \frac{e^{-\kappa |\vec{r}_i - \vec{r}_j|}}{|\vec{r}_i - \vec{r}_j|}, \text{ przy czym } \kappa \rightarrow 0$$

$$H_{\text{ion}} = \frac{1}{2} \tilde{e}^2 \int d\vec{r} \int d\vec{r}' \frac{n(\vec{r}) n(\vec{r}')} {|\vec{r} - \vec{r}'|}, \text{ gdzie}$$

$$n(\vec{r}) = \frac{N}{V}, \quad \kappa \rightarrow 0.$$

$$H_{\text{el-ion}} = -\tilde{e}^2 \sum_{i=1}^N \int d\vec{r} \frac{n(\vec{r}) e^{-\kappa |\vec{r} - \vec{r}_i|}}{|\vec{r} - \vec{r}_i|}$$

Najpierw zajmiemy się atomem H_{ion}:

$$H_{\text{ion}} = \frac{1}{2} \tilde{e}^2 \left(\frac{N}{V} \right)^2 \int d\vec{r} \int d\vec{r}' \frac{e^{-\kappa |\vec{r} - \vec{r}'|}}{|\vec{r} - \vec{r}'|} = \left\{ \vec{x} = \vec{r} - \vec{r}' \right\} =$$

$$= \frac{1}{2} \tilde{e}^2 \left(\frac{N}{V} \right)^2 V \int d\vec{x} \frac{e^{-\kappa x}}{x} \underset{\substack{\downarrow \\ d\vec{x} = 4\pi x^2}}{=} \frac{1}{2} \tilde{e}^2 \left(\frac{N}{V} \right)^2 V 4\pi \frac{1}{\kappa^2} \underset{\kappa \rightarrow 0}{\rightarrow} \infty$$

(to oddziaływanie jest bardzo daleko zasięgowe,
tj. każdy ładunek oddziałuje z każdym)

Teraz zajmiemy się atomem Hel-ion:

$$H_{\text{el-ion}} = -\tilde{e}^2 \sum_{i=1}^N \frac{N}{V} \int d\vec{r} \frac{e^{-\kappa |\vec{r} - \vec{r}_i|}}{|\vec{r} - \vec{r}_i|} = -\tilde{e}^2 \frac{4\pi}{\kappa^2} \frac{N^2}{V}$$

atomy + jonnej brakującej traktowanej klasycznie.

Zatem

$$\hat{H} = -\frac{1}{2} \tilde{e}^2 \frac{N^2}{V} \frac{4\pi}{\kappa^2} + \hat{H}_{\text{el}}$$

$$\hat{H}_{\text{el}} = \sum_{\vec{k}_1, \vec{q}} \frac{\hbar^2 \vec{k}^2}{2m} a_{\vec{k}_1}^\dagger a_{\vec{k}_1} + \cancel{\sum_{\vec{k}_1, \vec{k}_2, \vec{q}_1, \vec{q}_2} \frac{1}{2V} \delta_{\vec{k}_1 + \vec{k}_2, \vec{q}_1 + \vec{q}_2} a_{\vec{k}_1}^\dagger a_{\vec{k}_1} a_{\vec{k}_2}^\dagger a_{\vec{k}_2}}$$

$$+ \frac{1}{2V} \sum_{\vec{q}_1, \vec{q}_2} \sum_{\vec{k}_1, \vec{k}_2, \vec{q}} V_{\vec{q}} a_{\vec{k}_1 + \vec{q}, \vec{q}_1}^\dagger a_{\vec{k}_2 - \vec{q}, \vec{q}_2}^\dagger a_{\vec{k}_2} a_{\vec{k}_1}$$

$$\uparrow V_{\vec{q}} = \frac{4\pi \tilde{e}^2}{q^2 + \kappa^2}$$

aj pierw użijemy wzoru $\vec{q}^2 = 0$:

$$\frac{\tilde{e}^2}{2V} \frac{4\pi}{k^2} \sum_{\sigma_1 \sigma_2} \sum_{\vec{k}_1 \vec{k}_2} a_{\vec{k}_1 \sigma_1}^+ a_{\vec{k}_2 \sigma_2}^+ a_{\vec{k}_2 \sigma_2} a_{\vec{k}_1 \sigma_1} =$$

$$\left\{ \begin{array}{l} \underbrace{a_{\vec{k}_1 \sigma_1}^+ a_{\vec{k}_2 \sigma_2}^+ a_{\vec{k}_2 \sigma_2} a_{\vec{k}_1 \sigma_1}}_{= -} = - a_{\vec{k}_2 \sigma_2}^+ \underbrace{a_{\vec{k}_1 \sigma_1}^+ a_{\vec{k}_2 \sigma_2} a_{\vec{k}_1 \sigma_1}}_{=} = \\ = - a_{\vec{k}_2 \sigma_2}^+ (a_{\vec{k}_2 \sigma_2}^+ a_{\vec{k}_1 \sigma_1}^+ + \delta_{\vec{k}_1 \vec{k}_2} \delta_{\sigma_1 \sigma_2}) a_{\vec{k}_1 \sigma_1} \end{array} \right\}$$

$$= - \frac{\tilde{e}^2}{2V} \frac{4\pi}{k^2} \sum_{\sigma_1 \sigma_2} \sum_{\vec{k}_1 \vec{k}_2} (-n_{\vec{k}_2 \sigma_2} n_{\vec{k}_1 \sigma_1} + n_{\vec{k}_1 \sigma_1} \delta_{\vec{k}_1 \vec{k}_2} \delta_{\sigma_1 \sigma_2}) =$$

$$= - \frac{\tilde{e}^2}{2V} \frac{4\pi}{k^2} (-\hat{N}^2 + \hat{N}) \xrightarrow[\substack{\text{elektry} \\ \text{ne atomów} \\ \text{z okres} \\ \text{ciągły cząstek}}]{\substack{\text{w} \\ \text{ten white}}} \underbrace{\frac{4\pi}{2V} \frac{\tilde{e}^2}{k^2} N^2}_{\substack{\text{masuje się} \\ \text{z fitem}}} - \frac{\tilde{e}^2}{2V} \frac{N}{k^2} \frac{4\pi}{k^2} \xrightarrow[\substack{\text{dzie} \\ \text{do zera} \\ \text{w gęsto} \\ \text{termody} \\ \text{nomiaj}]}{}$$

Monot: Whitey od $\vec{q}^2 = 0$ kasują te od jednoznacznego \vec{k} .

Teraz użijemy użyciu nachmuku zaburzeń, aby zbednie wpływu oddziaływanie nieodległościowe na wstępność whitea. Rachunek zaburzeń wykonyujemy wokół whitea bez oddziaływań (model Fermiego).

Pierwsze pytanie: w jakich warunkach nieoddziaływający gaz elektronowy może służyć jako punkt wyjścia? Wiemy, że dla gazu nieoddziaływanego:

$$E_{kin} \sim n^{2/3}$$

natomiast oddzielnie wchodzi: jeho:

$$E_{\text{pot}} \sim \frac{\tilde{e}^2}{d} \sim n^{1/3}, \text{ bo}$$

$$\bar{d} \sim \left(\frac{V}{n}\right)^{1/3} = n^{-1/3}$$

↑ średnia odległość
między warstwami

Oznacza to, że:

$$\frac{E_{\text{pot}}}{E_{\text{kin}}} \sim \frac{n^{1/3}}{n^{2/3}} \xrightarrow{n \rightarrow \infty} 0,$$

czyli rachunek zakluczeń lepiej działa
dla dużych gęstości.

Wprowadzamy istotne zmiany odległości i energii
dla naszego modelu używając jeho
prototypu atomu wodoru; wtedy

w stanie podstawowym (1s) zmiana odległości
jest równa promieniu Bohra,
natomiast zmiana skali energii jest energią
stania podstawowego:

$$a_0 = \frac{\hbar^2}{m\tilde{e}^2} \approx 0,053 \text{ nm} \quad E_0 \sim \frac{p^2}{2m} - \frac{\tilde{e}^2}{a_0}$$

$$E_0 = -\frac{\tilde{e}^2}{2a_0} = -13,6 \text{ eV} = -1 \text{ Ry.}$$

Niech r_s będzie typową bezwymiarową skalą
odległości w naszym problemie; tj.

$$N = \frac{V}{\frac{4}{3}\pi r_s^3 a_0^3 (r_s a_0)^3}$$

parametr charakteryzujący
gęstość

$$\frac{4}{3} \pi (r_s a_0)^3 = \frac{V}{N} = \frac{1}{n}, \quad n = \frac{k_F^3}{3\pi^2}$$

czyli $a_0 k_F = \left(\frac{9\pi^2}{4}\right)^{1/3} \frac{1}{r_s} \Rightarrow r_s = \left(\frac{9\pi^2}{4}\right)^{1/3} \frac{1}{a_0 k_F}$,

czyli

$$\frac{E^{(0)}}{N} = \frac{3}{5} = \frac{3}{5} \frac{1}{2} \frac{\frac{\hbar^2}{2m}}{a_0 e^2} k_F^2 = \frac{2,21}{r_s^2} \text{ Ry.}$$

Pierwszy metod rachunku zaklętej w

$$V_{e-e} = \frac{1}{2V} \sum_{\sigma_1 \sigma_2} \sum_{k_1 k_2 q} V_q \underbrace{a_{k_1+q \sigma_1}^+ a_{k_2-q_1 \sigma_2}^+ a_{k_2 \sigma_2} a_{k_1 \sigma_1}}_{\substack{\text{bez } \vec{q}=0 \\ \frac{\hbar^2 e^2}{q^2 + k^2}}}$$

dla $T=0$.

$$\frac{E^{(1)}}{N} = \frac{1}{2} \langle FS | V_{e-e} | FS \rangle =$$

$$= \frac{1}{2VN} \sum_{\vec{q}} \sum_{k_1 k_2} \sum_{\sigma_1 \sigma_2} \underbrace{\langle FS | a_{k_1+q_1 \sigma_1}^+ a_{k_2-q_1 \sigma_2}^+ a_{k_2 \sigma_2} a_{k_1 \sigma_1} | FS \rangle}_{\oplus}$$

$\bullet a_{k_2 \sigma_2} a_{k_1 \sigma_1} |FS\rangle$ oznacza niezwykły wynik tylko wtedy, gdy \vec{k}_1 i \vec{k}_2 są poniżej poziomu Fermiego

$\bullet \langle FS | a_{k_1+q_1 \sigma_1}^+ a_{k_2-q_1 \sigma_2}^+ | \dots \rangle$ musimy sprawdzić stan znany do strem podstawnego, czyli

- $\bullet \vec{q}=0$, ale to już zostało uwzględnione
- $\bullet \vec{k}_2 = \vec{k}_1 + \vec{q}_1$, $\sigma_1 = \sigma_2$

$$\Theta = +\delta_{\sigma_1 \sigma_2} \delta_{\vec{k}_2, \vec{k}_1 + \vec{q}} \langle FS | a_{\vec{k}_1 + \vec{q}, \sigma_1}^+ a_{\vec{k}_1, \sigma_1}^- a_{\vec{k}_1 + \vec{q}, \sigma_2}^+ a_{\vec{k}_1, \sigma_2}^- | FS \rangle =$$

$$= -\delta_{\sigma_1 \sigma_2} \delta_{\vec{k}_2, \vec{k}_1 + \vec{q}} \langle FS | \hat{n}_{\vec{k}_1 + \vec{q}, \sigma_1}^- n_{\vec{k}_1, \sigma_2}^- | FS \rangle \approx$$

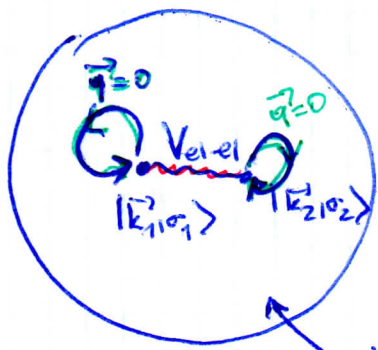
$$\left\{ \begin{array}{l} \hat{n}_{\vec{k}_1, \sigma_1}^- | FS \rangle = \Theta(k_F - |\vec{k}_1|) | FS \rangle \\ \hat{n}_{\vec{k}_1 + \vec{q}}^- | FS \rangle = \Theta(k_F - |\vec{k}_1 + \vec{q}|) | FS \rangle \end{array} \right\} \Rightarrow$$

$$\langle FS | a_{\vec{k}_1 + \vec{q}, \sigma_1}^+ a_{\vec{k}_2 - \vec{q}, \sigma_2}^+ a_{\vec{k}_2, \sigma_2}^- a_{\vec{k}_1, \sigma_1}^- | FS \rangle =$$

$$= -\delta_{\sigma_1 \sigma_2} \delta_{\vec{k}_2, \vec{k}_1 + \vec{q}} \Theta(k_F - |\vec{k}_1|) \Theta(k_F - |\vec{k}_1 + \vec{q}|) \langle FS | FS \rangle$$

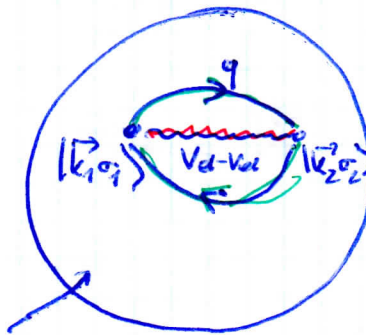
Wstępujemy to do wzoru na $\frac{E^{(1)}}{N}$:

$$\frac{E^{(1)}}{N} = -\frac{1}{2NV} \sum_{\sigma_1 \sigma_2} \sum_{\vec{k}_1 \vec{k}_2 \vec{q}} \frac{4\pi e^2}{q^2 + k_F^2} \delta_{\sigma_1 \sigma_2} \delta_{\vec{k}_2, \vec{k}_1 + \vec{q}} \Theta(k_F - |\vec{k}_1|) \Theta(k_F - |\vec{k}_1 + \vec{q}|)$$



czon
bezpośredni
(direct interaction)

muone
Fermiego



czon wymiany
(exchange interaction)

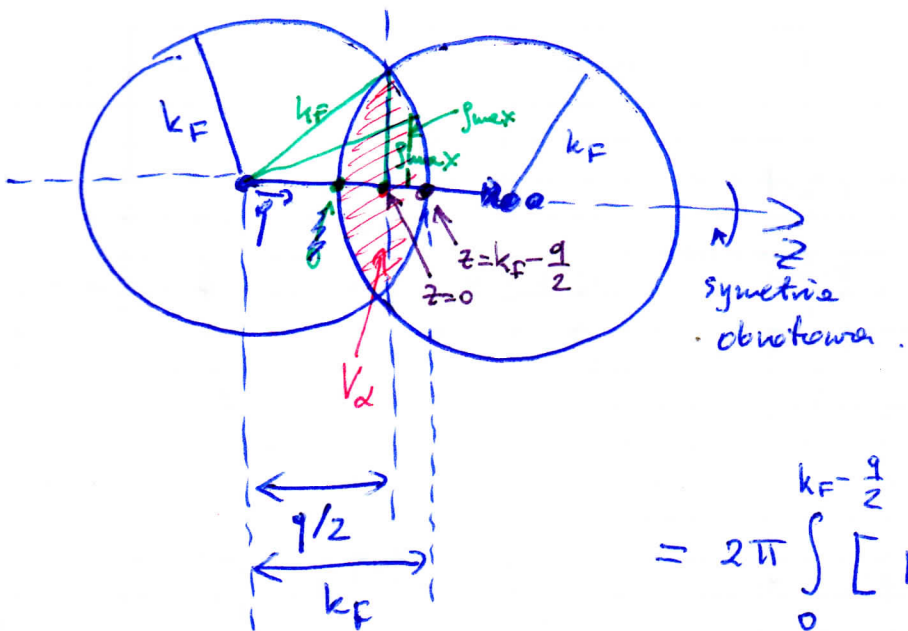
$$\frac{E^{(1)}}{N} = -\frac{1}{2NV} \sum_{\sigma} \sum_{\vec{k}_1 \vec{q}} \frac{4\pi e^2}{q^2 + k_F^2} \Theta(k_F - |\vec{k}_1|) \Theta(k_F - |\vec{q} - \vec{k}_1|) =$$

$$= -\frac{1}{NV} \sum_{\vec{k}_1 \vec{q}} \frac{4\pi e^2}{q^2} \Theta(k_F - |\vec{k}_1|) \Theta(k_F - |\vec{q} - \vec{k}_1|) =$$

$$= -\frac{4\pi \tilde{e}^2}{N V} \cdot \frac{V}{(2\pi)^3} \int d^3 k' \frac{V}{(2\pi)^3} \int d^3 q \frac{1}{q^2} \Theta(k_F - |k'|) \Theta(k_F - |k' + q|) = \textcircled{2}$$

Najpierw chceemy wykonać całkowanie po \vec{k}' :

$$\int d^3 k' \Theta(k_F - |k'|) \Theta(k_F - |k' + q|) = \Theta(2k_F - |q|) V_\alpha$$



$$s_{\max}^2 + (z + \frac{q}{2})^2 = k_F^2$$

$$V_\alpha = 2 \int_0^{k_F - \frac{q}{2}} dz \int_0^{2\pi} d\varphi \int_0^{s_{\max}} p dp =$$

$$= 4\pi \int_0^{k_F - \frac{q}{2}} dz \int_0^{s_{\max}} p dp =$$

$$= 2\pi \int_0^{k_F - \frac{q}{2}} [k_F^2 - (z + \frac{q}{2})^2] dz =$$

$$= \frac{4}{3}\pi k_F^3 \left(1 + \frac{3}{2} \frac{q}{2k_F} + \frac{1}{2} \left(\frac{q}{2k_F} \right)^3 \right)$$

$$\textcircled{A} = -\frac{1}{N} \frac{V}{(2\pi)^6} 4\pi \tilde{e}^2 \int d^3 q \frac{1}{q^2} \Theta(2k_F - |q|) \frac{4}{3}\pi k_F^3 \left(1 + \frac{3}{2} \frac{q}{2k_F} + \frac{1}{2} \left(\frac{q}{2k_F} \right)^3 \right) =$$

$$= -\frac{\tilde{e}^2}{h} \frac{1}{2\pi^3} \frac{k_F^4}{2}$$

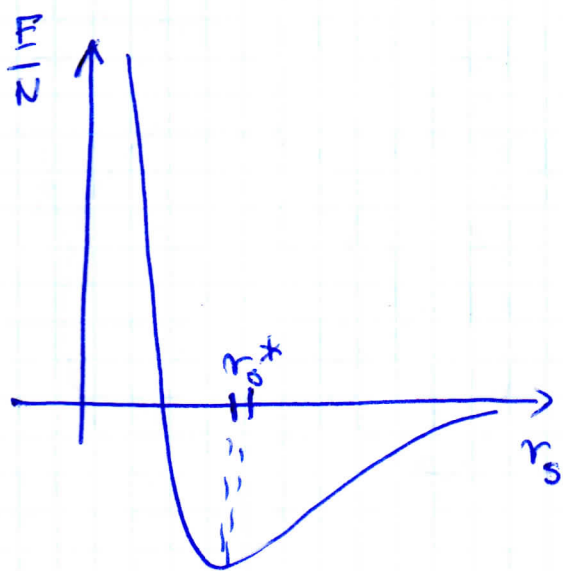
zatem

$$\frac{E^{(i)}}{N} = -\frac{\tilde{e}^2}{2a_0} \underbrace{\left(\frac{a_0 k_F}{\pi} \right)}_{\left(\frac{3}{4\pi} \right)^{1/3} \frac{1}{r_s}} \frac{k_F^3}{2\pi^3 h} \simeq -\frac{0.916}{r_s} \text{ Ry}$$

zatem w pierwszym naciskie rachunku

zaburzeń:

$$\frac{E}{N} \underset{\leftarrow \text{duże gęstości}}{\approx} \frac{E^{(0)} + E^{(1)} + \dots}{N} = \left(\frac{2 \cdot 21}{r_s^2} - \frac{\underbrace{0,916}_{\text{energia kinetyczna}}}{r} + \dots \right) \text{Ry.}$$



r_s^* - położenie minimum energii

Taki kształt dla huty energii kinetycznej stabilność gazu elektronowego.

$$\frac{1}{N} \left. \frac{\partial}{\partial r_s} (E^{(0)} + E^{(1)}) \right|_{r_s=r_s^*} = 0 \Rightarrow r_s^* = 4.8$$

$$\frac{E^*}{N} = -0,1 \text{ Ry.}$$

Eksperyment: obliczamy $r_s^* = 3,96$, $\frac{E^*}{N} = 0,08 \text{ Ry}$
ponadto $p = - \frac{\partial E}{\partial V} = 0$!

W drugim naciskie rachunku zaburzeń mamy:

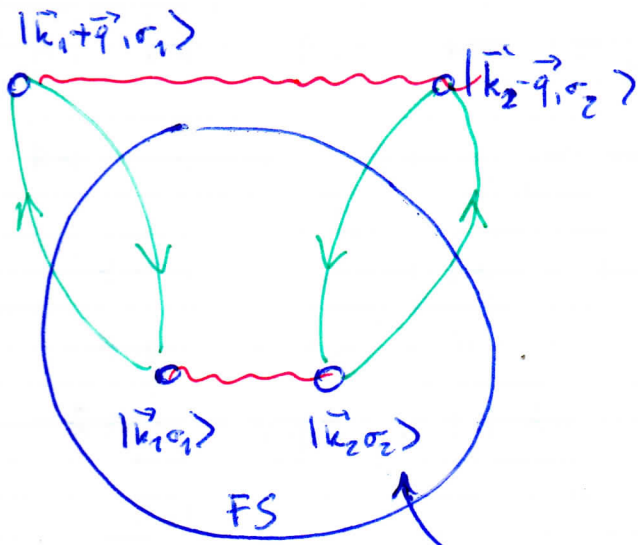
$$\frac{E^{(2)}}{N} = \frac{1}{N} \sum_{(v) \neq (FS)} \frac{\langle FS | V_{e-e} | v \rangle \times \langle v | V_{e-e} | FS \rangle}{E^{(0)} - E_v}$$

$$\hat{V}_{e-e} = \frac{1}{2V} \sum_q \sum_{k_1 k_2} \sum_{\sigma_1 \sigma_2} V_q a_{k_1+q \sigma_1}^+ a_{k_2-q \sigma_2}^+ a_{k_2 \sigma_2} a_{k_1 \sigma_1}$$

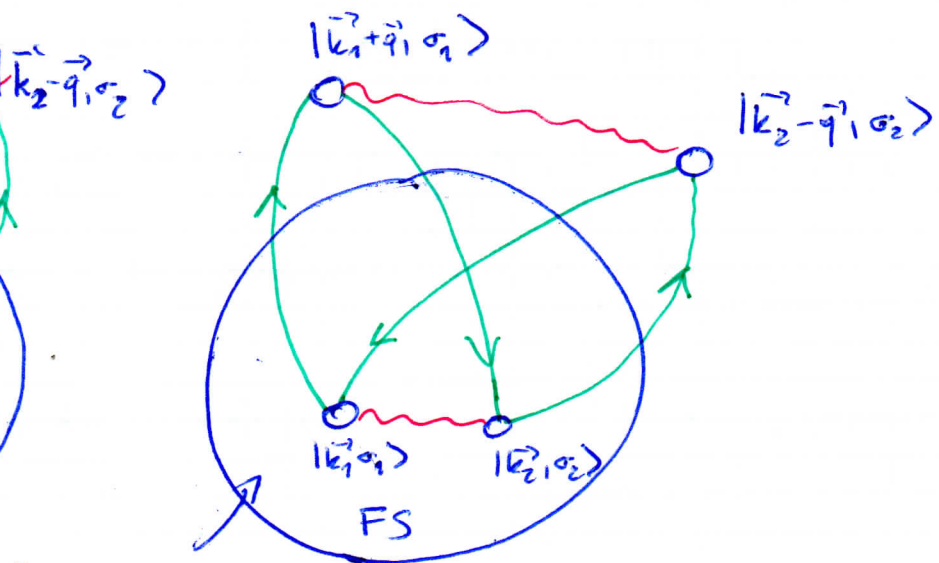
Wannier $|v\rangle \neq |FS\rangle$ skojarz:

$$|v\rangle = \Theta(k_F - |\vec{k}_1|) \Theta(k_F - |\vec{k}_2|) \Theta(k_F - |\vec{k}_1 + \vec{q}| - k_F) \Theta(|\vec{k}_2 - \vec{q}| - k_F) \cdot$$

$$\alpha_{k_1+q, \sigma_1}^+ \alpha_{k_2-q, \sigma_2}^+ \alpha_{k_2, \sigma_2}^- \alpha_{k_1, \sigma_2}^- |FS\rangle$$



wyznac
bez pośrednictwa
("direct")



wyznac
Fermiego

wyznac
wyminieju
("exchange")

Zajmujemy się wyznaczaniem bez pośrednictwa:

$$\frac{E_{\text{div}}^{(2)}}{N} = \frac{1}{N} \sum_q \sum_{\substack{\vec{k}_1, \vec{k}_2 \\ \sigma_1, \sigma_2}} \frac{1}{(2V)^2} \frac{(V_q)^2}{E_0 - E_v} \Theta(|\vec{k}_1 - \vec{q}| - k_F) \Theta(|\vec{k}_2 - \vec{q}| - k_F) \cdot \Theta(k_F - |\vec{k}_1|) \Theta(k_F - |\vec{k}_2|)$$

$$V_q \sim \frac{1}{q^2}, \sum_{\vec{k}_1} \rightarrow \int \frac{d^3 k_1}{(2\pi)^3}, \sum_{\vec{k}_2} \rightarrow \int \frac{d^3 k_2}{(2\pi)^3}$$

ignorując potęgi q

$$\bullet V_q^2 \sim \frac{1}{q^4}$$

$$\bullet E_0 - E_v = \text{const} (k_1^2 + k_2^2 - (\vec{k}_1 + \vec{q})^2 - (\vec{k}_2 - \vec{q})^2) \sim q$$

$$\bullet \sum_{\vec{k}_1} \Theta(|\vec{k}_1 + \vec{q}| - k_F) \Theta(k_F - |\vec{k}_1|) \sim q$$

$$\bullet \sum_{\vec{k}_2} \dots \sim q$$

czyli

$$\frac{E_{\text{dir}}^{(2)}}{N} \sim \int dq q^2 \frac{1}{q^2} \frac{1}{q} \frac{\sum_{k_1} \sum_{k_2}}{q q} \sim \int dq \frac{1}{q} \xrightarrow{q \rightarrow 0} \infty, \text{ czyli}$$

$\frac{V_q^2}{E_0 - E_\nu}$

ten wielki jest osobliwy.

A jak jest dla $E_{\text{ex}}^{(2)}$? Jest tak samo,

że my jesteśmy $V_q^2 \rightarrow V_q V_{k_2 \rightarrow k_1 - q} \sim \frac{1}{q^2}$,

zatem w tym przypadku całka jest skończona.

Gdybyśmy mieli elipsoidem (k > 0), wtedy

$$E_{\text{dir}}^{(2)} \sim \ln k$$

w nocy miastości:

$$\frac{E}{N} \xrightarrow[r_s \rightarrow 0]{} \left(\frac{2,121}{r_s^2} - \frac{0,1916}{r_s} + \underbrace{0,0622 \ln r_s - 0,096}_{\text{wielki całkowalny}} \right) R_y$$